

بهینه‌سازی فرایند سونوالکتروپراکسون با الکترودهای گرافن-تیتانیوم در حذف سم ۲ و ۴-دی‌کلروفنوکسی استیک اسید از پساب سنتیک با استفاده از مدل رویه پاسخ

جمال مهرعلی‌پور^{۱*}، مجید کرمانی^{۲و۳}

^۱ دانشجوی دکتری تخصصی (Ph.D) مهندسی بهداشت محیط، گروه مهندسی بهداشت، دانشگاه علوم پزشکی ایران، تهران، ایران.

^۲ عضو شورای مرکزی کمیته تحقیقات دانشجویی دانشکده بهداشت دانشگاه علوم پزشکی ایران

^۳ مرکز تحقیقات تکنولوژی بهداشت محیط، دانشگاه علوم پزشکی ایران، تهران، ایران

^۴ دانشیار، گروه مهندسی بهداشت محیط، دانشکده بهداشت، دانشگاه علوم پزشکی ایران، تهران، ایران

تاریخ دریافت مقاله: ۱۳۹۷/۸/۲۶؛ تاریخ پذیرش: ۱۳۹۷/۱۱/۱۶

چکیده

زمینه و هدف: فرایندهای اکسیداسیون پیشرفته هیبریدی توانایی تجزیه آفتکش‌ها را دارند. هدف از این مطالعه، بهینه‌سازی فرایند سونوالکتروپراکسون در حذف (D₂,4) از محیط‌های آبی با استفاده از مدل رویه پاسخ بود.

مواد و روش‌ها: پایلوت مورد استفاده شامل سیستم ازن زنی، التراسونیک و منبع جریان مستقیم الکتریکی بود. دو الکترود گرافن بعنوان آند و دو الکترود تیتانیوم بعنوان کاتد بصورت تک قطبی مستقیم به منع وصل بودند. pH محیط، جریان الکتریکی مستقیم، غلظت گاز ازن، زمان واکنش و غلظت اولیه آلاینده بعنوان پارامترهای تاثیرگذار، بهینه‌سازی شدند. در شرایط بهینه، میزان حذف COD و TOC سیتیک فرایند، اثر هم‌افزایی متغیرها، حضور ریاینده‌های رادیکال و غلظت بهینه الکتروولیت تعیین شدند.

یافته‌ها: بازده فرایند در محدوده ۵۵ تا ۹۰ درصد بود. شرایط بهینه مدل‌سازی شده عبارت است از pH=6/04، غلظت ازن برابر ۲ میلی گرم در لیتر در دقیقه، جریان الکتریکی برابر ۱ آمپر، غلظت آلاینده برابر ۳۰/۳ میلی گرم در لیتر و زمان واکنش ۱۰۳ دقیقه در حضور امواج التراسونیک با فرکانس ۴۰ کیلوهرتز است. کارایی فرایند در این شرایط، ۹۵ درصد بدست آمد. میزان حذف COD و TOC به ترتیب ۷۱ و ۶۳ درصد بود. سیتیک فرایند از سیتیک درجه اول پیروی می‌کند. مقدار P-Value و F-Value توسط آنالیز ANOVA به ترتیب ۰/۳۳۰ و ۰/۲۴۱۹ تعیین شد که بیانگر معنادار بودن مدل است. مقادیر ضرایب همبستگی، همبستگی تطبیق یافته و پیش‌بینی شده به ترتیب ۰/۹۴، ۰/۸۴ و ۰/۸۹ تعیین شد.

نتیجه‌گیری: فرایند مورد استفاده، دارای کارایی مناسبی در حذف آلاینده D₂,4 است. بدلیل عدم استفاده از مواد شیمیابی، این فرایند بعنوان یک فرایند دوستدار محیط زیست می‌باشد.

کلمات کلیدی: فرایند سونوالکتروپراکسون، آفتکش D₂,4 بهینه‌سازی، محیط‌های آبی، مدل رویه پاسخ

مقدمه

استفاده می‌شود.^{۱۱} این فرایندهای تلفیقی باعث افزایش تولید رادیکال‌های اکسید کننده بویژه رادیکال هیدروکسیل می‌گردد^{۱۰-۱۵}. فرایندهای اکسیداسیون پیشرفت‌هیبریدی با بکارگیری همزمان چند مکانیسم باعث تسريع روند تجزیه آلاینده می‌شوند. در این فرایندها دو یا بیشتر از دو مکانیسم تلفیق شده و کارایی را افزایش می‌دهند.^{۱۶} الکتروفتون، فوتولکتروکاتالیس^{۱۷} و فوتولکتروکاتالیست از جمله فرایندهای اکسیداسیون پیشرفت‌هیبریدی هستند.^{۱۸,۱۹} فرایند پراکسون، فراینده است که طی آن هیدروژن پراکساید در حضور مولکول ازن به رادیکال هیدروکسیل تبدیل شده و افزایش کارایی را در پی دارد.^{۲۰} اگر در این فرایند از جریان الکتریکی مستقیم با الکترودهایی بر پایه کربن استفاده شود، هیدروژن پراکساید در محل واکنش (In-situ) تولید خواهد شد که به فرایند الکتروپراکسون (EPP) شناخته می‌شود (رابطه ۱).^۹



فرایند الکتروپراکسون توانایی فایق آمدن بر کاستی‌های فرایندهای ازن‌زنی ساده و الکترولیز را دارا می‌باشد.^{۲۰,۹} این فرایند سرعت واکنش و کارایی حذف آلاینده‌ها را بویژه آلاینده‌هایی که مولکول ازن توانایی حذف آن‌ها را ندارد، بهبود می‌بخشد.^۹ علاوه بر آن فرایند الکتروپراکسون مواد جانبی خطرناک مانند پلیمرها و برومات‌ها که در طی فرایند ازن‌زنی ساده و الکترولیز تولید می‌شوند را کاهش می‌دهد.^{۲۰} در فرایند الکتروشیمیایی، اکسیژن ورودی در سطح کاتد به هیدروژن پراکساید تبدیل می‌شود و واکنش‌های بعدی را شکل می‌دهد.^{۲۱,۲۲} آلاینده‌ها در فرایند الکترولیز توسط مکانیسم انتقال مستقیم الکترون در سطح آند یا بر اساس واکنش شیمیایی با عوامل اکسید کننده مانند $\text{HClO}, \text{H}_2\text{S}_2\text{O}_8$ و رادیکال هیدروکسیل که بصورت الکتروشیمیایی در سطح آند تشکیل شده‌اند، تجزیه می‌شوند.^{۲۳} علاوه بر آن در فرایند الکتروپراکسون، آلاینده توسط واکنش‌های کاتدی مستقیم نیز

امروزه استفاده از آفتکش‌ها برای کنترل آفات افزایش یافته است. غلطت این ترکیبات در منابع مختلف مانند روان-آب‌های کشاورزی تا ۵۰۰ میلی‌گرم‌دلیتر هم می‌رسد.^{۲۰,۱} استفاده گسترده از آفتکش‌های خانواده کلره، دلیل اصلی آلدگی منابع است. ترکیبات این خانواده دارای پتانسیل ایجاد سلطان و جهش‌زاوی هستند.^{۳,۲} و ۴ دی‌کلروفنوکسی استیک اسید (D_{2,4}) یکی از اعضای اصلی این خانواده است که به دلیل قیمت پایین، خاصیت انتخابی، انحلال بالا در آب (۳۰۰ میلی‌گرم‌دلیتر) و ضریب جذب پایین در خاک، بصورت گسترده مورد استفاده قرار می‌گیرد.^۱ نیمه عمر این ترکیب بین ۲۰ تا ۳۱۲ روز است.^۲ کمیسیون اروپا حداقل غلطت مجاز یک نوع آفتکش در منابع را ۰/۱ میکروگرم‌دلیتر و غلطت کل آفتکش‌ها را ۰/۵ میکروگرم‌دلیتر تعیین کرده است. همچنین WHO حداقل غلطت قابل قبول در آب آشامیدنی را ۷۰ میکروگرم‌دلیتر تعیین کرده است.^۴ فرایندهای مورد استفاده در حذف D_{2,4} شامل فرایندهای جذب سطحی^۰ الکتروشیمیایی^۷، فوتولکاتالیست ، ازن‌زنی^۷ و فوتوفتسون^۸ است. که هریک دارای مزایا و معایب خاص خود هستند. گاز ازن برای گندزادی و اکسیداسیون آلاینده‌ها در محیط‌های آبی مورد استفاده قرار می‌گیرد. در طی فرایند ازن‌زنی متداول(ساده)، آلاینده‌ها توسط مولکول‌های ازن و رادیکال هیدروکسیل حاصل از تجزیه ازن تخریب می‌شوند. مولکول ازن یک اکسید کننده انتخابی است و ترجیحاً با آلاینده‌های آلی که دارای ساختار الفین، ترکیبات آروماتیک فعال، سولفور یا آمین هستند، واکنش می‌دهد. رادیکال هیدروکسیل اکسید کننده غیرانتخابی است و با تمامی ترکیبات آلی سریعاً واکنش می‌دهد.^۹ از معایب ازن‌زنی می‌توان به تولید ترکیبات حدواسط مانند آلدیدها، کربوکسیلیک اسید اشاره نمود. برای بهبود کارایی فرایند ازن‌زنی، از فرایندهای تلفیقی مانند ازن/هیدروژن پراکساید، ازن/اشعه ماورابنفش، ازن‌زنی کاتالیستی

حاوی ترکیبات آلی مقاوم استفاده کرده‌اند. نتایج مطالعه بیانگر کارایی مناسب این فرایند در تصفیه فاضلاب است.^{۲۸} بر اساس مقدمه ارایه شده، هدف از این مطالعه بهینه‌سازی و مدل سازی فرایند سونوالکتروپراکسون در حذف D_{2,4} از پساب ستنتیک با طراحی ترکیبی مرکزی بود.

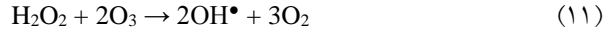
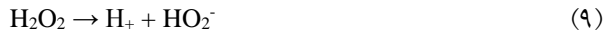
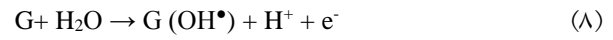
مواد و روش‌ها

مواد شیمیایی مورد استفاده: سم D_{2,4} با خلوص ۹۸ درصد (جدول ۱) از شرکت سیگما-آلدریچ، سدیم سولفات، پتاسیم مونو فسفات، متانول از شرکت مرک و ویال COD از شرکت لاوی باند تهیه شدند. الکترودهای گرافن و تیتانیوم با ابعاد (۱۵×۲ سانتی‌متر) از شرکت ایمن گستر ایرانیان خریداری شدند. محلول‌های مورد استفاده با آب دیونایز، بصورت روزانه تهیه شدند. در این مطالعه جهت تامین اکسیژن خالص از کپسول اکسیژن، ازن‌ژنراتور (Ozone Generator) Ol80F/DST، Oznone (P405، ADAK، China)، Philips، Alfa، (USA)، دستگاه جریان الکتریکی مستقیم (service)، Canada (sensual.HACH، USA)، pH متر (G1238C)، میکسر (TOC)، اسکتروفوتومتر (DR 6000، HACH)، آنالایزر (Multi N/C3100، Analytiv.Jena) استفاده شدند.

راهاندازی پایلوت فرایند سونوالکتروپراکسون

پایلوت مورد استفاده در این مطالعه شامل یک محفظه واکنش از جنس پلاکسی‌گلاس با حجم مفید ۵۰۰ سی‌سی بود (شکل ۱). گاز ازن بصورت مستمر توسط ازن‌ژنراتور تولید شده و به داخل راکتور توسط دیفیوز حباب ریز تزریق شد. غلظت گاز ازن تزریقی توسط ازن‌ژنراتور، تنظیم شد. دو الکترود گرافن بعنوان آند و دو الکترود تیتانیوم بعنوان کاتد بصورت یک در میان و با فاصله یک سانتی‌متر از هم بصورت تک‌قطبی مستقیم به دستگاه تولید جریان مستقیم، متصل شدند.

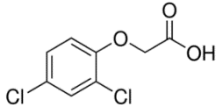
تجزیه می‌شوند.^{۲۴} الکترودهای گرافن به دلیل دارا بودن سطح خشی، کارایی بالایی در تولید هیدروژن پراکساید و رادیکال هیدروکسیل دارند.^{۲۳} مجموعه فعل انفعالات رخ داده در فرایند الکتروپراکسون در روابط ۲ تا ۱۱ نشان داده شده است.



استفاده از امواج التراسونیک در فرایند الکتروپراکسون باعث افزایش هرچه بیشتر فعال‌سازی مولکول‌های ازن و هیدروژن پراکساید می‌شود. این فرایند هیرییدی سونوالکتروپراکسون (US-EP) نام‌گذاری می‌شود. در واقع فرایند سونوالکتروپراکسون تلفیقی از سه مکانیسم ازن‌زنی ساده، الکترولیز و سونولیز است که بصورت مستقیم و غیر مستقیم آنالینده را تجزیه می‌کند.^{۲۵} مدل رویه پاسخ (RSM) مدل تجربی ریاضی که رفتارهای واقعی و شبیه‌سازی شده کارایی فرایند بر اساس متغیرهای مختلف را بهینه‌سازی می‌کند.^{۲۶} طراحی ترکیبی مرکزی (CCD) زیرمجموعه RSM است که برای مدل سازی و بهینه‌سازی مطالعات تجربی استفاده می‌شود. کرمانی و همکارانش در سال ۲۰۱۸، کارایی فرایند پرسولفات فعال شده با استفاده از همایت طبیعی را در حذف آفتکش D_{2,4} از محیط‌های آبی را مورد بررسی قرار داده‌اند. در شرایط بهینه، فرایند مذکور قادر است ۶۸/۱ درصد از آنالینده اولیه را حذف نماید.^{۲۷} Dawei Liang و همکارانش در سال ۲۰۱۹، از فرایند الکتروپراکسون در تصفیه فاضلاب

بهینه‌سازی فرایند سونو الکترپراکسون با الکترودهای گرافن-تیتانیوم در ...

جدول ۱: برخی مشخصات علفکش 2, 4 D

اطلاعات، خصوصیات و شماتیک	ساختمان
C8H6Cl2O3	
	
خصوصیات شیمیایی و شاختاری	
حجم مولی	۲۲۱/۰۴ گرم بر مول
نقطه ذوب	۴۰/۵ درجه سلسیوس
نقطه جوش	۱۶۰ درجه سلسیوس
شکل ظاهری	سفید متمایل به زرد
انحلال در آب	۹۰۰ میلی گرم در لیتر
LD50	۵۰۰ میلی گرم بر کیلو گرم (دهانی، همستر) ۱۰۰ میلی گرم بر کیلو گرم (دهانی، سگ) ۳۴۷ میلی گرم بر کیلو گرم (دهانی، موش) ۶۹۹ میلی گرم بر گرم (دهانی، رت)
pKa in 298.15 k	۲/۸

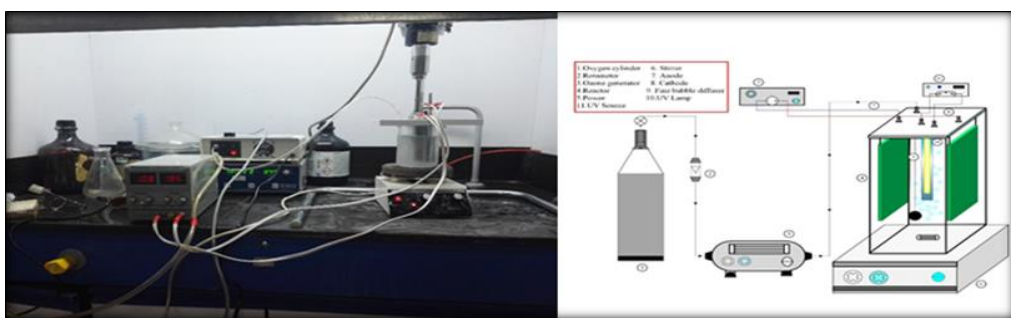
رابطه ۱۲ استفاده شد.

$$\text{Removal efficiency}(\%) = \frac{C_0 - C_e}{C_0} \times 100 \quad (11)$$

C_0 : غلظت اولیه بر حسب میلی گرم در لیتر، C_e : غلظت نهایی بر حسب میلی گرم در لیتر

پس از تعیین شرایط بهینه فرایند، اثر هم افزایی متغیرها، سیستیک واکنش، تاثیر غلظت الکتروولیت، تاثیر حضور رباینده های رادیکال، میزان کاهش COD و TOC تعیین شدند.

پرایپ التراسونیک با توان ۳۵۰ وات و فرکانس ۴۰ کیلوهرتز در میانه راکتور تعییه شد. نمونه برداری از عمق ۱۰ سانتی متر توسط پی پیت انجام گرفت. جهت قرایت آلینده از HPLC با فاز متحرک مтанول و بافر فسفات به نسبت ۷۰ به ۳۰ در طول موج ۲۸۳ نانومتر و مدت زمان ۱۰ دقیقه استفاده شد.^{۲۷} همچنین TOC و COD بر اساس دستورالعمل ارایه شده در کتاب مرجع آزمایشات آب و فاضلاب اندازه گیری شد.^{۲۹} جهت تعیین کارایی حذف 2, 4 D، COD و TOC از



شکل ۱: طرح شماتیک و واقعی پایلوت فرایند US-EP

جدول ۲: خلاصه طراحی فرایند بر اساس CCD

نام	pH	A	نام	نام	نام	نام	نام	نام	نام
واحد	-		واحد	واحد	واحد	واحد	واحد	واحد	واحد
غایضت ازن	Mg/l.hr	B	غایضت ازن	Mg/l	D	غایضت ازن	2, 4 D	C	غایضت ازن
جربیان الکتریکی	A		زمان واکنش	min	E	زمان واکنش			زمان واکنش
حد بالا	حد پایین	حد پایین	بالاترین سطح	پایین ترین سطح	حد پایین	حد بالا	میانگین	انحراف معیار	۱/۸۱
۶	۲	۱	۲/۵	۰/۵	۰/۵	۸	۴	۱۰	۰/۴۵
۰/۷۵	۰/۵	۰/۵	۱/۲۵	۰/۲۵	۱	۱	۲	۲	۰/۲۲
۵۵	۸۰	۳۰	۱۰۵	۵	۸۰	۳۰	۸۰	۸۰	۲۲/۵۹
۹۰	۱۲۰	۶۰	۱۵۰	۳۰	۶۰	۱۲۰	۹۰	۹۰	۲۷/۱۱

آنالیز واریانس بر اساس P-Value با فاصله اطمینان ۹۵ درصد، متغیرهای تاثیرگذار را مشخص نمود و ترم‌هایی که دارای مقادیر بالاتر از P-Value ۰/۰۵ بودند، حذف شدند. جدول ۴ نتایج حاصل از آنالیز واریانس مطالعه را نمایش می‌دهد.

بر اساس نتایج آنالیز، مقادیر P-Value و F-Value به ترتیب ۰/۰۰۳ و ۲۴/۱۹ بdst آمد. همچنین پارامتر فقدان تناسب (Lack of fit) ۰/۵۴ بdst آمد که بیان کننده این موضوع است که مدل انتخاب شده دارای تناسب است. رابطه ۱۳، رابطه ریاضی بین متغیرها در فرایند را نمایش می‌دهد.

Efficiency (%) = $72.9 - (2.8 \times \text{pH}) - (27.9 \times \text{Ozone}) - (7.8 \times \text{Current}) - (0.4 \times 2.4 \times D) + (0.01 \times \text{Time}) - (0.5 \times \text{pH} \times \text{Ozone}) - (4.0 \times \text{pH} \times \text{Current}) + (1.0 \times \text{Ozone} \times \text{Current}) + (0.02 \times \text{Ozone} \times 2.4 \times D) - (0.1 \times \text{Ozone} \times \text{Time}) - (0.07 \times \text{Current} \times 2.4 \times D) + (1.6 \times \text{Current} \times \text{Time})$

ضرایب همبستگی (R^2 , R^2 predict) تطبیق یافته و R^2 پیش‌بینی شده به ترتیب (۰/۹۴، ۰/۸۴ و ۰/۸۹) تعیین شد که دارای همبستگی مطلوبی بین مقادیر پیش‌بینی شده و تجربی هستند. شکل ۱ نمودار تشخیص مدل بر اساس نرمال پلات و مقادیر پیش‌بینی در مقابل مقادیر باقی‌مانده مطالعه را نشان می‌دهد. بر اساس این تصویر، همبستگی مناسبی بین نتایج وجود دارد و مطالعه دارای صحت قابل قبول است.

طراحی آزمایش: طراحی آزمایش، جهت بهینه‌سازی متغیرها در راستای بهبود کارایی و کاهش خطای آزمایش استفاده شد. برای طراحی، آنالیز، مدل‌سازی و پیش‌بینی شرایط بهینه فرایند در حذف D, 2,4 از طراحی ترکیبی مرکزی با نرم-افزار دیزاین اکسپرت نسخه ۱۰ استفاده شد. محدوده و سطوح متغیرها در جدول ۲ ارایه شده است. طراحی بر اساس small fraction انجام گرفت. پاسخ‌های اندازه‌گیری شده شامل حذف D در مراحل مختلف بود. نتایج بdst آمد، با آنالیز آماری ANOVA بررسی شد. نتایج توسط گراف‌های سه بعدی بر اساس تاثیرگذاری متغیرها نمایش داده شد. P-Value با سطح اطمینان ۹۵ درصد به منظور ارزیابی اثر توابع مدل مورد استفاده قرار گرفت.

در ادامه ترم‌های تک جزیی و برهمکنش‌های بین متغیرهای تاثیرگذار بر کارایی فرایند فیت شدند و بهینه‌سازی با مدل درجه دو چند جمله‌ای در ۵ متغیر تک جزیی، ۱۰ متغیر برهمکنشی و ۵ متغیر اتحنا انجام شد. ضرایب همبستگی (R^2 , R^2 adj, R^2 predict) تعیین شد.

یافته‌ها

طراحی ترکیبی مرکزی: برای یافتن بهترین شرایط فرایند، مدل رویه پاسخ، استفاده شد. در جدول ۳، مقادیر پیش‌بینی شده و واقعی ارایه شده است. بر اساس نتایج بdst آمد، حداقل کارایی فرایند ۹۰ و ۵۵ درصد است.

بهینه‌سازی فرایند سونو الکترپراکسون با الکترودهای گرافن-تیتانیوم در ...

جدول ۳: مراحل آزمایش فرایند US-EP و مقادیر تجربی و تئوریکی

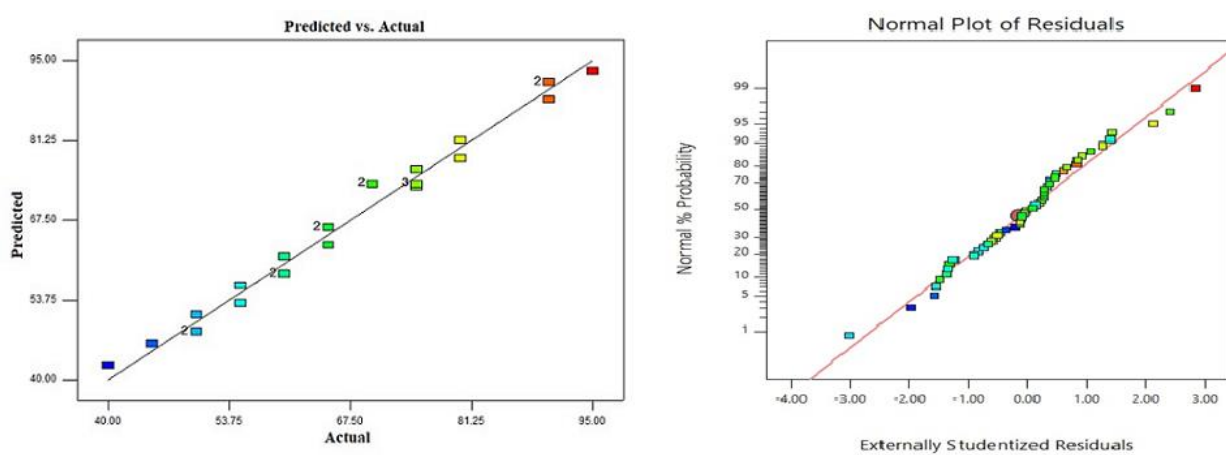
مراحل آزمایش	pH	غلظت گاز ازن(میلی گرم در لیتر در دقیقه)	متغیرها			زمان واکنش (دقیقه)	تئوری	تجربی	کارایی فرایند (درصد)
			جریان الکتریکی(آمپر)	غلظت اولیه سم (میلی گرم در لیتر)	تئوری				
۱	۸	۲	۰/۵	۳۰	۱۲۰	۶۶	۶۵		
۲	۶	۱/۵	۰/۲۵	۵۵	۹۰	۶۲	۶۰		
۳	۴	۲	۱	۸۰	۶۰	۷۴	۷۵		
۴	۲	۱/۵	۰/۷۵	۵۵	۹۰	۵۲	۵۰		
۵	۸	۱	۱	۸۰	۶۰	۵۴	۵۵		
۶	۴	۲	۰/۵	۸۰	۱۲۰	۶۶	۶۵		
۷	۶	۱/۵	۰/۷۵	۵۵	۹۰	۷۰	۷۰		
۸	۴	۱	۱	۸۰	۱۲۰	۶۱	۶۰		
۹	۶	۱/۵	۰/۷۵	۵۵	۱۵۰	۷۵	۷۵		
۱۰	۶	۱/۵	۰/۷۵	۵۵	۹۰	۷۶	۷۵		
۱۱	۶	۱/۵	۱/۲۵	۵۵	۹۰	۹۶	۹۵		
۱۲	۴	۱	۰/۵	۳۰	۶۰	۴۲	۴۰		
۱۳	۸	۱	۱	۳۰	۱۲۰	۸۱	۸۰		
۱۴	۶	۱/۵	۰/۷۵	۵۰	۹۰	۸۹	۹۰		
۱۵	۶	۱/۵	۰/۷۵	۵۵	۳۰	۵۵	۵۵		
۱۶	۸	۲	۰/۵	۸۰	۶۰	۵۱	۵۰		
۱۷	۶	۱/۵	۰/۷۵	۵۵	۹۰	۷۲	۷۰		
۱۸	۴	۲	۱	۳۰	۱۲۰	۹۱	۹۰		
۱۹	۶	۱/۵	۰/۷۵	۱۰۰	۹۰	۷۲	۷۰		
۲۰	۱۰	۱/۵	۰/۷۵	۵۵	۹۰	۵۱	۵۰		
۲۱	۸	۱	۰/۵	۸۰	۱۲۰	۴۶	۴۵		
۲۲	۶	۰/۵	۰/۷۵	۵۵	۹۰	۶۶	۶۵		
۲۳	۶	۲/۵	۰/۷۵	۵۵	۹۰	۸۲	۸۰		
۲۴	۶	۱/۵	۰/۷۵	۵۵	۹۰	۷۷	۷۵		
۲۵	۶	۱/۵	۰/۷۵	۵۵	۹۰	۷۶	۷۵		
۲۶	۸	۲	۱	۳۰	۶۰	۹۲	۹۰		

جدول ۴: نتایج حاصل از آنالیز واریانس

	P ارزش (p-value)	F ارزش (F-Value)	میانگین مربعات	درجه آزادی	مجموع مربعات	منابع
معنادار	۰/۰۰۳۳	۲۴/۱۹	۹۷/۲۱	۲۰	۱۹۴۴/۱	مدل
	۰/۰۰۰۸	۱۳/۹۶	۴۴۸/۹۰	۱	۴۴۸/۹	A: pH
	۰/۰۰۸۴	۲/۱۹	۱۰۲/۴	۱	۱۰۲/۴	B: ازن
	۰/۰۰۵۹	۳/۳۹	۱۰۸/۹	۱	۱۰۸/۹	C: جریان الکتریکی
	۰/۰۰۲	۱۱/۵۸	۳۷۲/۱	۱	۳۷۲/۱	D: غلظت 2,4 D
	۰/۰۰۰۶	۱۴/۸۱	۴۷۶/۱	۱	۴۷۶/۱	E: زمان واکنش
	۰/۰۲۱۶	۰/۲۴۸۹	۸	۱	۸	AB
	۰/۰۵۵۵	۳/۹۸	۱۲۸	۱	۱۲۸	AE
	۰/۰۰۹۶	۰/۱۰۶	۰/۴۹۷	۱	۰/۴۹۷	BC
	۰/۰۴۷۴	۰/۰۹۷۲	۳/۱۲	۱	۳/۱۲	BD
	۰/۰۱۵۸	۲/۶۳	۸۴/۵	۱	۸۴/۵	BE
	۰/۰۴۵۷	۰/۱۹۰۰	۶/۱۲	۱	۶/۱۲	CD
	۰/۰۱۴۵	۷/۰۷۳	۲/۲۱۳۴	۱	۲/۲۱۳۴	CE
بی معنا	۰/۵۴	۷/۴۹	۴۰/۶۵	۲۲	۸۹۴/۲۲	فقدان انطباق
			۵/۴۳	۷	۳۸	خطای خالص
				۴۹	۲۸۷۶/۳۲	کل

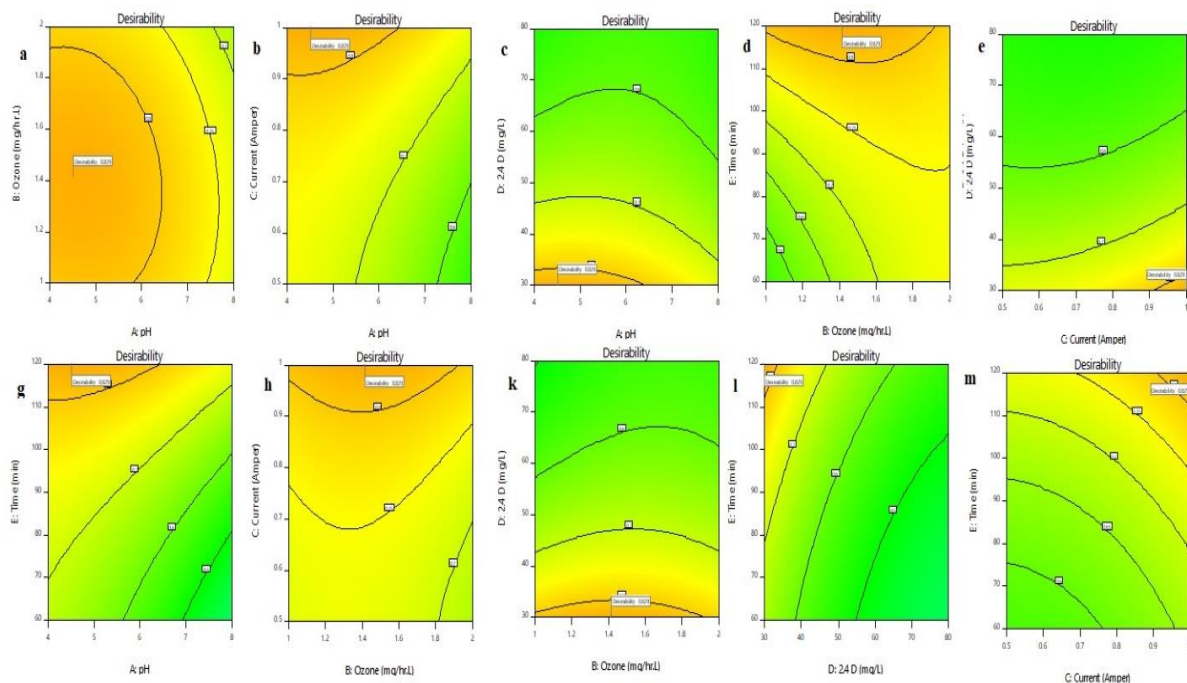
نمایش می دهد که نشان دهنده مطلوبیت حذف 2,4 است.

تصویر شماره ۲ تصاویر کانتور پاسخ های فیت شده را

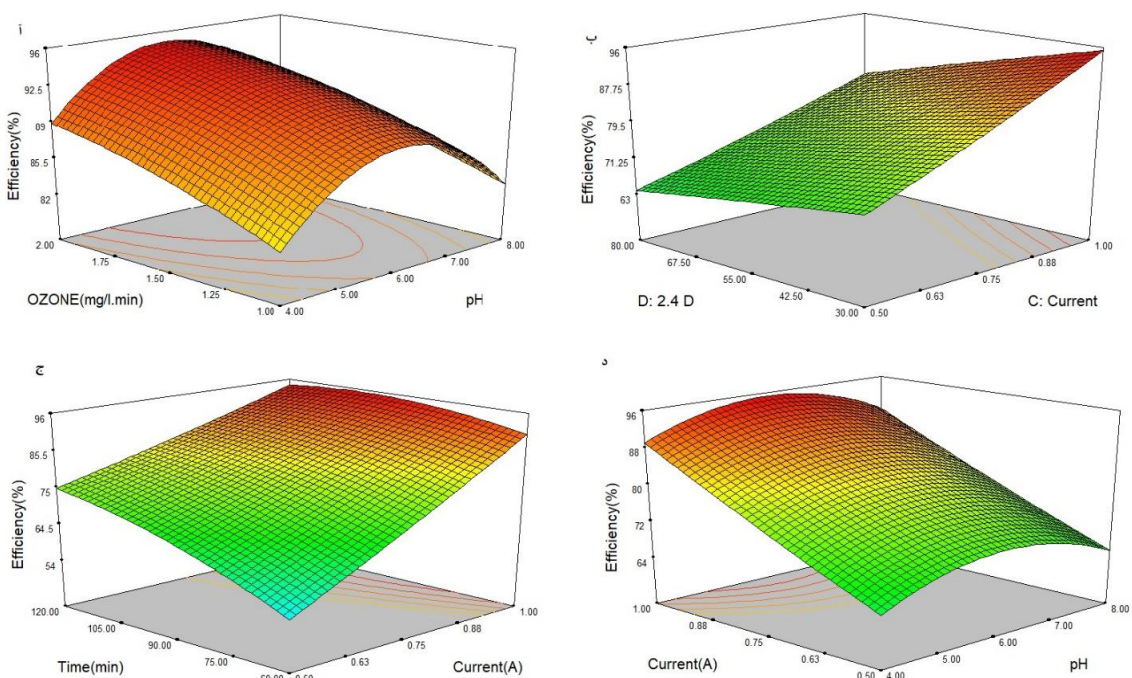


شکل ۱: نمودار نرم افزار پلات فرایند US-EP

بهینه سازی فرایند سونو الکترپر اکسون با الکترودهای گرافن-تیتانیوم در ...



شکل ۲: تصاویر کانتور پاسخ ها بر اساس متغیرهای فرایند



شکل ۳: تصاویر سه بعدی از متغیرهای فرایند و اثر آنها بر کارایی حذف آلاینده

جدول ۵: شرایط بهینه فرایند US-EP با در نظر گرفتن و بدون در نظر گرفتن شرایط اقتصادی بهره‌برداری

شرایط بهره‌برداری	pH	غلظت ازن	جریان الکتریکی	غلظت D	زمان کارایی کارایی	واکنش (دقیقه)	توريکي(%)	تجربی (%)
بدون در نظر گرفتن هزینه	۲	۱	۳۰/۳۳	۹۵/۰۱	۱۰۳	۹۶/۶۴		
با در نظر گرفتن هزینه	۱	۰/۵	۸۰	۶۱/۶	۱۲۰	۶۲/۰۲		

بر اساس تصویر ۳، متغیرهای زمان واکنش و جریان الکتریکی، بعنوان متغیرهای مستقل در این مرحله در نظر گرفته شدند و سایر متغیرها در مقدار مرکزی ثابت در نظر گرفته شدند. براساس نتایج بدست آمده، غلظت اولیه آلینده و جریان الکتریکی دارای تاثیرگذاری بسیار زیادی بر کارایی فرایند دارند و بیشترین کارایی فرایند در بیشترین مقدار این متغیرها بدست آمد.

بر اساس تصویر ۳ د، متغیرهای pH و جریان الکتریکی، بعنوان متغیرهای مستقل در این مرحله در نظر گرفته شدند و سایر متغیرها در مقدار مرکزی ثابت در نظر گرفته شدند. نتایج نشان داد که با افزایش جریان، کارایی بالاتری از فرایند را شاهد هستیم و بالاترین کارایی فرایند در pH حدود ۶ مشاهده شد. پس از بهینه‌سازی فرایند، شرایط بهینه فرایند بصورت جدول شماره ۵ تعیین شد. در این جدول، شرایط بهینه بدون در نظر گرفتن و با در نظر گرفتن شرایط اقتصادی بهره‌برداری (حداقل استفاده از انرژی) ارایه شد.

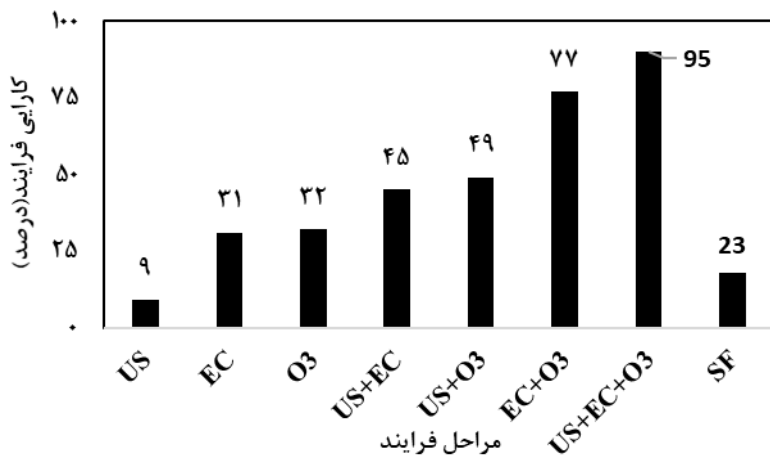
تأثیر هم افزایی متغیرها و تاثیر مقدار الکتروولیت: در این مطالعه، سه متغیر غلظت گاز ازن (بعنوان اکسید کننده مستقیم و عامل تولید رادیکال هیدروکسیل)، جریان الکتریکی مستقیم (بعنوان عامل اکسیداسیون آندی و عامل تولید هیدروژن پراکساید و رادیکال هیدروکسیل) و امواج التراسونیک (بعنوان مکانیسم سونولیز و عامل ایجاد کننده هیدروژن پراکساید و رادیکال هیدروکسیل) بعنوان متغیرهای اصلی تاثیر گذار بر روی فرایند تعیین شدند. بنابر نتایج بدست آمده در این بخش نشان داد که هر یک از پارامترها بصورت جداگانه کارایی پایین‌تری نسبت به فرایند US-EP دارند (نمودار ۱).

بر اساس این تصاویر، مشخص شد که کارایی فرایند تحت تاثیر متغیرهای مستقل انتخابی (pH اولیه، غلظت گاز ازن، زمان واکنش، غلظت اولیه سم و جریان الکتریکی مستقیم) است. با افزایش مقادیر متغیرهای غلظت گاز ازن، جریان الکتریکی و زمان واکنش و همچنین کاهش مقادیر متغیرهای pH و غلظت اولیه آلینده، کارایی فرایند افزایش پیدا می‌کند. در ادامه تصاویر گرافیکی سه بعدی برای تعیین ترم‌های تک جزیی و برهمکنش بیان آن‌ها در حذف سم ۲,۴ D در فرایند ارایه شده است.

بر اساس تصویر ۳ آ، متغیرهای pH و غلظت ورودی گاز ازن بعنوان متغیرهای مستقل در نظر گرفته شدند و سایر متغیرهای مطالعه، در نقطه مرکزی ثابت در نظر گرفته شدند. بر اساس نتایج بدست آمده، مشخص شد که کارایی فرایند US-EP تحت تاثیر این متغیرها است و با افزایش غلظت ازن در محفظه واکنش، کارایی فرایند افزایش پیدا می‌کند. اما با تغییر pH در محدوده در نظر گرفته شده، کارایی فرایند بصورت دوگانه تغییر می‌کند. بدین صورت که با افزایش pH تا حدود ۶، کارایی فرایند افزایش یافته و پس از عبور از این pH، روند کاهشی در پیش گرفته است.

بر اساس تصویر ۳ ب، متغیر غلظت اولیه ۴D و جریان الکتریکی مستقیم، متغیرهای مستقل در نظر گرفته شده هستند. بر اساس نتایج بدست آمده، جریان الکتریکی مستقیم متغیری بسیار مهم و تاثیرگذار بر کارایی فرایند است. اما تاثیر غلظت اولیه آلینده بر کارایی فرایند رابطه معکوس دارد بنحوی که بالاترین کارایی فرایند در حذف آلینده در بالاترین مقدار جریان الکتریکی و پایین‌ترین غلظت آلینده بدست آمد.

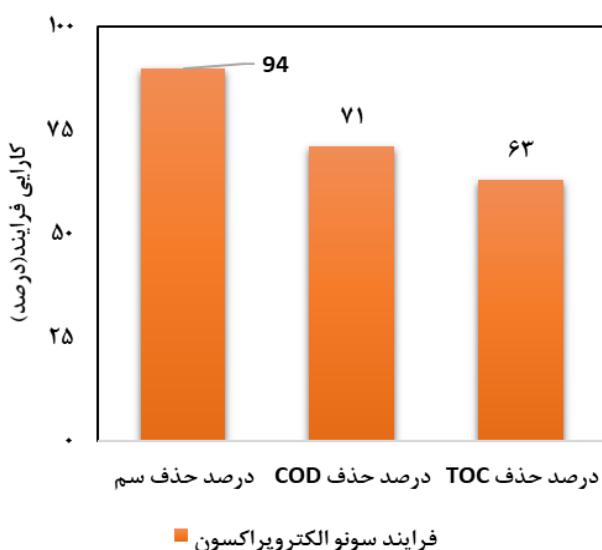
بهینه‌سازی فرایند سونو الکتروپراکسون با الکترودهای گرافن-تیتانیوم در ...



نمودار ۱: بررسی هم افزایی متغیرهای تاثیرگذار بر کارایی فرایند US-EP

قرار گرفت. در این مطالعه، سیستمیک فرایند بر اساس سیستمیک درجه صفر، درجه یک و درجه دو مورد بررسی قرار گرفت. نتایج حاصل در نمودار ۳ ارایه شده است. نتایج مشخص کننده تبعیت فرایند از سیستمیک درجه یک می‌باشد.

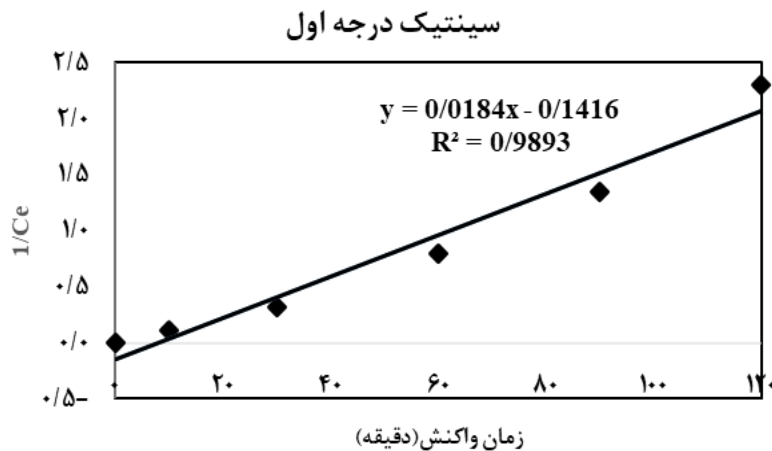
حضور غلاظت‌های مختلف سدیم سولفات بعنوان الکترولیت در فرایند باعث ایجاد رسانایی محلول از نظر انتقال الکترون و انجام فرایندهای الکتروشیمی و اکسیداسیون توسط رادیکال‌های تولیدی می‌شود. در این مطالعه غلاظت‌های صفر، ۰/۰۵ و ۰/۰۵ گرم در لیتر از سدیم سولفات مورد استفاده قرار گرفت و نتایج بدست آمده مشخص نمود که کارایی فرایند تحت تاثیر میزان غلاظت الکترولیت است بطوری که کارایی فرایند در غلاظت‌های اشاره شده به ترتیب برابر ۶۳، ۷۹ و ۹۵ درصد بود. در نتیجه غلاظت ۰/۰۵ گرم در لیتر سدیم سولفات بعنوان غلاظت بهینه الکترولیت انتخاب شد.



نمودار ۲: میزان کارایی فرایند در حذف آلاینده، COD و TOC

حذف COD و TOC و بررسی سیستمیک فرایند

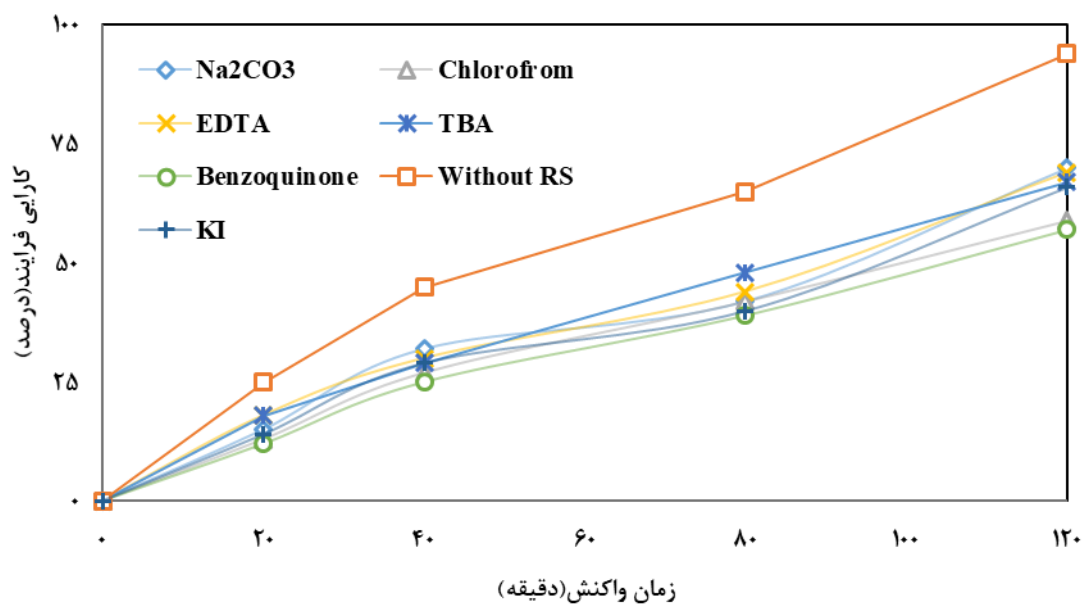
در این بخش از مطالعه، در شرایط بهینه فرایند، کارایی این فرایند در کاهش مقدار COD و TOC مورد بررسی قرار گرفت. بر اساس نتایج بدست آمده مشخص شد که در شرایط بهینه تعیین شده، کارایی فرایند در حذف شاخص‌های COD و TOC کمتر از مقدار حذف خود آلاینده است. نمودار ۲ نتایج این بخش از مطالعه را نشان می‌دهد. در بخش دیگر این مطالعه، سیستمیک فرایند مورد مطالعه



نمودار ۳: تعیین سینتیک درجه یک در شرایط بهینه فرایند US-EP

معدنی رادیکال‌های اکسید کننده مورد بررسی قرار گرفت.
نتایج این بخش از مطالعه در نمودار ۴ ارایه شده است.

بررسی تاثیر حضور رباينده های رادیکال بر کارایی فرایند در شرایط بهینه
در این بخش از مطالعه، تاثیر حضور رباينده های آلی و



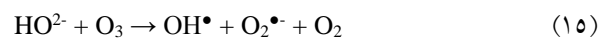
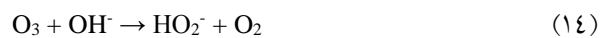
نمودار ۴: بررسی تاثیر حضور رباينده های رادیکال بر کارایی فرایند در شرایط بهینه

بحث



نکته حائز اهمیت درباره این فرایند، کارایی فرایند در محدوده وسیعی از pH مناسب است و از آنجایی که فاصلهای صنعتی دارای pH متفاوتی هستند بنابراین از این فرایند می‌توان برای تصفیه آنها استفاده نمود. در مطالعات قبلی بسیاری از محققان تاثیر pH بر کارایی فرایند را مورد بررسی قرار داده‌اند. مهرعلی‌پور و همکارانش، کارایی فرایند الکتروپراکسون را در حذف رنگرای اسید نارنجی ۷ را مورد مطالعه قرار دادند. نتایج نشان داد که بالاترین کارایی فرایند در Hongwei pH اسیدی بدست آمده است.^{۲۰} همچنین مطالعات Yang و همکاران نشان می‌دهد که فرایند الکتروپراکسون در رنج نسبتاً گسترده‌ای از pH کارایی مناسبی دارد.^{۲۱} بر اساس تئوری انتقال جرم، افزایش میزان غلظت ورودی ازن به محفظه واکنش، باعث افزایش غلظت ازن محلول در محیط مایع می‌گردد. از آنجایی که ازن دارای نقش مستقیم (اسیداسیون مستقیم آلینده) و غیر مستقیم (تجزیه و واکنش با هیدروژن پراکساید و تولید رادیکال هیدروکسیل) در فرایند US-EP است.^{۲۲} انتظار می‌رفت با افزایش غلظت ورودی ازن به داخل محفظه واکنش، این فرایند دارای کارایی بالاتری باشد که نتایج ارایه شده موید این موضوع است. اما باید به این نکته اشاره نمود که بر اساس ضریب هنری، انحلال گاز ازن تحت تاثیر درجه حرارت آب، غلظت گاز ازن و فشار آب دارد.^{۲۳} این مطالعه در شرایط STP مورد مطالعه قرار گرفت. با در نظر گرفتن رابطه $\text{CL} = \text{CG} \times \text{S} \times \text{P}$ [CL: غلظت محلول در مایع (CG, mg/l)، غلظت گاز (S, g/m³)، ضریب بونسن (نسبت حلالیت)، وابسته به دما، P: فشار گاز (در اتمسفر)] حداقل میزان انحلال گاز ازن در دمای ۲۵ درجه سانتی‌گراد ۱۹ میلی‌گرم در لیتر است که در این مطالعه مقادیر خیلی کمتر برای اطمینان از انحلال این گاز در نظر گرفته شده است. بر اساس مطالعه‌ای که توسط وانگ و همکارانش در سال ۲۰۱۳ بر روی رنگبری رنگ اسید نارنجی ۲ صورت گرفته است

پارامتر pH، پارامتری تاثیرگذار بر کارایی فرایندهای شیمیایی بویژه فرایندهای اسیداسیون پیشرفته می‌باشد. سرعت واکنش‌های شیمیایی به pH محیط بستگی دارد. این پارامتر بصورت مستقیم و غیر مستقیم بر روی کارایی فرایند تاثیرگذار است. در فرایندهای اسیداسیون پیشرفته با تغییر pH در محدوده اسیدی و بازی، بر روی تولید رادیکال‌های اسید کننده تاثیرگذار است.^{۲۴} در فرایند US-EP نتایج مشخص نمود کارایی فرایند در حذف آلانین D ۲,۴ در افزایش pH از محدوده اسیدی به قلیایی، کارایی تا حدودی کاهش پیدا کرد. طبق مطالعات گذشته، در فرایند ازن‌زنی متداول، با افزایش pH به شرایط قلیایی، مولکول‌های ازن با یون‌های هیدروکسیل واکنش می‌دهند و یون HO_2^- تشکیل می‌دهند. در ادامه این یون با مولکول ازن واکنش می‌دهد و رادیکال هیدروکسیل تشکیل می‌دهد (روابط ۱۴ و ۱۵).



اما در فرایند US-EP، محیط اسیدی، شرایط مناسب‌تری برای تولید الکتریکی هیدروژن پراکساید است (رابطه ۱۶).



هرچند در محیط قلیایی، هیدروژن پراکساید تولید شده به صورت الکتریکی بصورت مکانیسم خودتخریبی به اکسیژن و مولکول‌های آب تبدیل می‌شود. همچنین در شرایط قلیایی واکنش بین یون هیدروکسیل و مولکول ازن باعث تشکیل یون HO_2^- می‌شود که یک واکنش جانبی است که غلظت ازن را در محیط کاهش می‌دهد. از سوی دیگر با احیای ازن و افزایش HO_2^- ، این ترکیب بعنوان رساننده رادیکال عمل کرده و با آلانینه بر سر مصرف رادیکال هیدروکسیل رقابت می‌کند (رابطه ۱۷).

انتقال مولکول ازن از فاز گازی به فاز محلول به دلیل محدودیت در اتحال ازن می‌باشد. نتایج مطالعه Yujue Wang نیز تایید کننده این موضوع می‌باشد. در این مطالعه نیز با افزایش غلظت هیدروژن پراکساید تولیدی از صفر به ۳۰۰ میلی گرم در لیتر، کارایی فرایند افزایش پیدا می‌کند، شبیب نمودار افزایش کارایی فرایند در غلظت‌های پایینی بیشتر از غلظت‌های بالایی است.^{۳۶}

غلظت آلاینده‌های آلی مانند D_{2,4} در مقادیر مختلفی در محیط یافت می‌شوند. بنابراین ضروری است که تاثیر غلظت اولیه آلاینده مورد بررسی قرار گیرد و بهترین فرایند را با بالاترین کارایی حذف انتخاب شود. مشخص است که با افزایش غلظت آلاینده در محیط واکنش، مصرف بالاتری از عوامل اکسید کننده مانند رادیکال هیدروکسیل و ازن و همچنین اکسیداسیون مستقیم توسط سونولیز، الکترولیز و هیدرولیز صورت می‌گیرد. کاهش کارایی فرایند با افزایش غلظت آلاینده را می‌توان اینگونه تفسیر نمود که در حالی که پارامترهایی مانند غلظت و رودی ازن، جریان الکتریکی و متعاقب آن تولید هیدروژن پراکساید و رادیکال هیدروکسیل و زمان واکنش ثابت است، غلظت‌های بالاتری از آلاینده وجود دارد و تجزیه کامل آن در غلظت‌های بالا امکان پذیر نیست. نتایج بدست آمده از این مطالعه با نتایج مطالعه‌ی Adrian و Huang بر روی حذف CIP با فرایند ازان زنی کاتالیزوری همخوانی دارد و در این مطالعات نیز بالاترین کارایی فرایندها در پایین‌ترین مقدار CIP مشاهده شد.^{۳۷, ۳۸}

نتایج مربوط به تاثیر مستقل هر کدام از پارامترهای مورد مطالعه در هر فرایند، نتایج نشان داد که هر یک از پارامترها بصورت مجزا دارای راندمان خیلی پایین‌تری نسبت به استفاده توأم پارامترها می‌باشدند. مطالعه‌ای که میزووتانی و همکارانش در سال ۲۰۱۴ انجام داده‌اند مشخص نمود که کارایی فرایند ازن زنی ساده و فرایند الکترولیز بصورت جداگانه در حذف ۱-۴ دی اکساین بعنوان شاخص ترکیبات آلی بسیار پایین‌تر از

مشخص شد که با افزایش غلظت ازن از ۳۵ به ۱۱۸ میلی گرم در لیتر باعث افزایش کارایی حذف از ۸۰ به ۹۸ درصد شد.^{۳۳} همچنین نتایج مطالعه گانگ و همکارانش در سال ۲۰۱۴ بر روی حذف ایبوبروفن با فرایند الکتروپراکسون مشخص کرد که افزایش غلظت ازن از ۱۰ به ۴۰ میلی گرم در لیتر باعث افزایش کارایی حذف و افزایش کارایی حذف TOC شده است.^{۳۴} دلیل افزایش کارایی فرایند US-EP با افزایش جریان الکتریکی مستقیم، افزایش تولید الکتریکی هیدروژن پراکساید در الکترودهای کاتدی گرافن می‌باشد و متعاقب آن تولید رادیکال هیدروکسیل با واکنش هیدروژن پراکساید و مولکول ازن است. هرچند که پس از مقدار بهینه جریان الکتریکی، کارایی فرایند ثابت باقی ماند. برای این موضوع دو دلیل وجود دارد. دلیل اول توانایی واکنش بین هیدروژن پراکساید و ازن است که محدودیت اتحال گاز ازن در مقدار مشخص در محلول است و دلیل دوم این است که با افزایش جریان الکتریکی مستقیم واکنش‌های تداخلی در محلول تسريع می‌شود در مقادیر بالاتر از حد بهینه در حالیکه در تولید الکتریکی هیدروژن پراکساید اختلال ایجاد شده است، مولکول ازن احیا و به مولکول آب تبدیل می‌شود. همچنین در غلظت بالاتر جریان، هیدروژن پراکساید در قسمت آند اکسید می‌شود (رابطه ۱۸).



از سوی دیگر، اتحال کمتر مولکول ازن در محلول، باعث می‌شود که تبدیل هیدروژن پراکساید به رادیکال هیدروکسیل بصورت محسوسی کاهش یابد و هیدروژن پراکساید در محیط باقی بماند و از آنجایی که این ترکیب اکسید کننده قوی نیست، کارایی فرایند کاهش پیدا کند. بر اساس مطالعه کیشیمو^{۳۵} و همکارانش در سال ۲۰۰۵ گزارش کردند که در فرایند ازناسیون و الکترولیز با الکترودهای استیل، فرایند تحت تاثیر جریان الکتریکی کمتر از ۱۰ آمپر بر مترمربع می‌باشد اما آنچه عامل اصلی در محدودیت فرایند می‌باشد، توانایی محدود

سرعت کنترلی صورت گیرد که نتایج ارایه شده، موید این مطلب است. در اکثر مطالعات انجام شده، میزان حذف COD در کنار حذف آلاینده مورد بررسی قرار گرفته است که می توان به مطالعات وانگ، یوان، گوانگ اشاره نمود که در تمامی مطالعات سرعت حذف COD کنترل از سرعت تجزیه و حذف آلاینده مورد مطالعه بوده است^{۳۳، ۳۴، ۴۳}. مطالعه سیتیک؛ به مدل سازی و اجرای بهتر فرایند در مقیاس کاربردی کمک خواهد نمود. بر اساس نتایج بدست آمده در مطالعه هر کدام از سیتیک‌ها، و تعیین ضریب همبستگی (R^2) مشخص شد که کارایی فرایند از سیتیک درجه یک تعیت می نماید. در سیتیک درجه یک، سرعت واکنش با میزان مواد واکنش دهنده که در این مطالعه، غلظت اولیه آلاینده است رابطه مستقیم و خطی دارد. بر اساس مطالعه Shen و همکاران^{۳۲} نیز مشخص شد که تخریب آلاینده او۴ دی اکسین با استفاده از فرایند الکتروپراکسون از سیتیک درجه اول پیروی می کند. فاضلاب و پساب واقعی حاوی ترکیبات آلی و معدنی هستند که بر روی فعالیت رادیکال هیدروکسیل و سایر عوامل اکسید کننده تاثیر گذار است. حضور رباينده هاي راديکال در فرایندهای اکسیداسیون پیشرفتیه یکی از مواردی است که باید مورد بررسی قرار گیرد. نتایج نشان می دهد که حضور رباينده هاي راديکال کارایی فرایند را کاهش می دهد. در این مطالعه، کربنات، فلوراید و ید بعنوان رباينده هاي معدنی و کلروفروم، EDTA، ترت بوتانول و بنزوکواين بعنوان رباينده هاي آلی تاثير گذار بر تجزیه آلاینده مورد بررسی قرار گرفتند. در حضور رباينده ها، ازن بخوبی نمی تواند با گروه های هیدروکسیل واکنش دهد و واکنش های بعدی برای تولید رادیکال هیدروکسیل رخ نمی دهد در نتیجه کارایی کاهش پیدا می کند. نمودار ۴ بیان کننده نتایج این بخش است. نتایج بدست آمده با مطالعات Barazesh و همکاران^{۴۴} و Wang^{۵۰} و همکاران^{۵۰} همخوانی دارد. در شکل ۴ شماتیک فرایند ارایه شده است.

هنگامی است که دو فرایند با هم ادغام می شوند^{۳۹}.

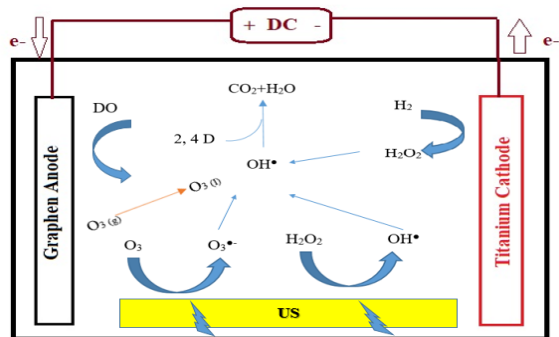
امواج التراسونیک به دلیل توانایی در تولید مستقیم H_2O_2 در محلول و همچنین شکست مولکول های آب به یون های هیدروژن و هیدروکسیل، می تواند کارایی فرایند هم زمان التراسونیک و فرایندهای اکسیداسیون پیشرفتیه مانند سونو الکتروپراکسون را افزایش دهد که روابط ۱۹ تا ۲۱ موید این مطلب است. هنگامی که محلولی تحت تاثیر امواج فراصوت قرار می گیرد، بخار آب موجود در جباب های ناشی از کاویتاسیون، می تواند به اشکال یون هیدروژن یا یون هیدروکسیل درآید که ناشی از pH محیط است^{۴۰}.



امواج التراسونیک همچنین قادر است، ترکیبات شیمیایی موجود در محیط مانند هیدروژن پراکساید را تجزیه کرده و تولید رادیکال های هیدروکسیل کند و در نتیجه با کنار هم قرار گرفتن چند عامل باعث افزایش کارایی حذف آلاینده ها می شود. عسگری و همکارانش، حذف ترکیب دارویی میترونیدازول با استفاده از فرایند التراسونیک/پرسولفات/ازن را مورد مطالعه قرار دادند. نتایج بدست آمده بیانگر تاثیر گذاری امواج التراسونیک بر راندمان حذف آلاینده می باشد^{۴۱}. همچنین سونگ و همکارانش کارایی فرایند US/O₃ را در تصفیه فاضلاب صنعت تولید روغن را مورد بررسی قرار داد. نتایج بدست آمده از این مطالعه مشخص کرد که کارایی فرایند تلفیقی التراسونیک / ازن اسیون باعث افزایش راندمان پلیمریزاسیون و کاهش ویسکوزیته فاضلاب شده است^{۴۲}. یکی از روش های ساده و در عین حال سریع در راستای تعیین میزان معدنی سازی در طی فرایند، آزمایش COD و TOC است. در این مطالعه بدليل ساختار خاص سم مورد مطالعه و حضور حلقه های آروماتیک در ساختمان این ترکیب بدیهی است که کارایی فرایند در حذف COD و TOC کمتر و با

می باشد و در این فرایند آلاینده های سخت تجزیه، مانند 2,4-D، معمولاً حذف و تثبیت آلاینده به صورت کامل و مؤثر انجام می شود. همین مزایای فرایندها بر پایه ازن باعث شده است که اخیراً این فرایندها به عنوان یک تکنولوژی جدید مورد توجه قرار گیرد. بنابراین در تجزیه و معدنی سازی آلاینده های سمی و سخت تجزیه از تلفیق مکانیسم های گوناگون با عواملی نظری، پراکسید هیدروژن، اکسیداسیون الکتریکی و ازن استفاده شد؛ که نتایج قابل قبولی را به همراه داشت. در این مطالعه تأثیر پارامترهای بهره برداری هر فرایند بر کارایی حذف سم با استفاده از نرم افزار مورد بررسی قرار گرفت و مقدار بهینه هر یک مشخص شد. بر اساس نتایج، مشخص شد که فرایند مورد استفاده دارای کارایی مناسبی در تصفیه محیط های آبی آلووده به این آلاینده است و امکان استفاده از این فرایند، به عنوان یک فرایند تصفیه کامل و یا پیش تصفیه نیز فراهم می باشد.

سپاسگزاری: این مقاله حاصل بخشی از طرح تحقیقاتی با عنوان "بهینه سازی فرایند فتوالکتروپراکسون و فرایند سونوالکتروپراکسون با الکترودهای گرافن- تیتانیوم در حذف سم ۲ و ۴- دی کلروفنوكسی استیک اسید از محیط های آبی با استفاده از مدل آماری رویه پاسخ" مصوب دانشگاه علوم پزشکی ایران با کد ۹۷-۰۱-۲۱۲-۳۱۹۱۸ می باشد که با حمایت های مالی و معنوی معاونت پژوهشی دانشگاه علوم پزشکی ایران اجرا شده است.



تصویر: شماتیک انجام فرایند و مکانیسم ها

بر اساس این شماتیک تجزیه آلاینده به دو مکانیسم اصلی اکسیداسیون مستقیم و اکسیداسیون غیر مستقیم صورت می گیرد. در اکسیداسیون مستقیم، مولکول های ازن، الکترولیز و سونولیز نقش دارند که باعث تخریب 2,4 D می شوند و در اکسیداسیون مستقیم مجموعه مکانیسم های موجود در فرایند باعث تشکیل هیدروژن پراکساید و متعاقب آن رادیکال هیدروکسیل شده و باعث اکسیداسیون و تخریب آلاینده می شود.

نتیجه گیری

فرایند سونوالکتروپراکسون به دلیل کارایی بالا و عدم اضافه نمودن ترکیبات شیمیایی به محیط واکنش، می تواند برای تجزیه و معدنی سازی محیط های آبی که حاوی غلظت های مختلف سم علوفکش 2,4 هستند، مورد استفاده قرار گیرد. از نقاط قوت این فرایند، سادگی آن در راه اندازی و راه بری

References

- Samarghandi MR, Nemattollahi D, Asgari G, et al. Electrochemical process for 2, 4-D herbicide removal from aqueous solutions using stainless steel 316 and graphite Anodes: optimization using response surface methodology. SEP SCI TECHNOL. 2018;1-16.
- Islam F, Wang J, Farooq MA, et al. Potential impact of the herbicide 2, 4-dichlorophenoxyacetic acid on human and ecosystems. ENVIRON INT.2017;332-51.
- Aziz KHH, Miessner H, Mueller S, et al. Comparative

study on 2, 4-dichlorophenoxyacetic acid and 2, 4-dichlorophenol removal from aqueous solutions via ozonation, photocatalysis and non-thermal plasma using a planar falling film reactor. J HAZARD MATER. 2018;343:107-15.

4. Aquino A, Tunega D, Haberhauer G, et al. Interaction of the 2, 4-dichlorophenoxyacetic acid herbicide with soil organic matter moieties: a theoretical study. EUR J SOIL SCI. 2007;58(4):889-99.

5. Cansado I, Mourão P, Gomes J, et al. Adsorption of MCPA, 2, 4-D and diuron onto activated carbons from wood composites. *Ciência & Tec Mater.* 2017;29(1):e224-e8.
6. Wang Y, Chu WJWr. Degradation of 2, 4, 5-trichlorophenoxyacetic acid by a novel Electro-Fe (II)/Oxone process using iron sheet as the sacrificial anode. *WATER RES.* 2011;45(13):3883-9.
7. Li J, Guan W, Yan X, et al. Photocatalytic Ozonation of 2, 4-Dichlorophenoxyacetic Acid using LaFeO₃ Photocatalyst Under Visible Light Irradiation. *CATAL LETT.* 2018;148(1):23-9.
8. González GC, Julcour C, Chaumat H, et al. Degradation of 2, 4-dichlorophenoxyacetic acid by photolysis and photo-Fenton oxidation. *J environ chemic enginee.* 2018;6(1):874-82.
9. Wang H, Zhan J, Yao W, et al. Comparison of pharmaceutical abatement in various water matrices by conventional ozonation, peroxone (O_3/H_2O_2)and an electro-peroxone process. *WATER RES.* 2018;130:127-38.
10. Yao W, Rehman SWU, Wang H, et al. Pilot-scale evaluation of micropollutant abatements by conventional ozonation, UV/O₃, and an electro-peroxone process. *WATER RES.* 2018;138:106-17.
11. Rahmani A, Mehralipour J, Shabanloo A, Majidi S. Efficiency of ciprofloxacin removal by ozonation process with calcium peroxide from aqueous solutions. *JQUMS*. 2015;19(2):55-64.[In persain]
12. Lu T, Chen Y, Liu M, et al. Efficient degradation of evaporative condensing liquid of shale gas wastewater using O₃/UV process. *PROCESS SAF ENVIRON.* 2019;121:175-83.
13. Asaithambi P, Sajjadi B, Aziz ARA, et al, Technology P. Ozone (O₃) and sono (US) based advanced oxidation processes for the removal of color, COD and determination of electrical energy from landfill leachate. *SEP PURIF TECHNOL.* 2017;172:442-9.
14. Wang H-w, Li X-y, Hao Z-p, et al. Transformation of dissolved organic matter in concentrated leachate from nanofiltration during ozone-based oxidation processes (O₃, O₃/H₂O₂ and O₃/UV). *J ENVIRON MANAGE.* 2017;191:244-51.
15. Parsons S. Advanced oxidation processes for water and wastewater treatment: IWA publishing; 2004.
16. Chakma S, Das L, Moholkar VSJS, Technology P. Dye decolorization with hybrid advanced oxidation processes comprising sonoysis/Fenton-like/photo-ferrioxalate systems: A mechanistic investigation. *SEP PURIF TECHNOL.* 2015;156:596-607.
17. Chakma S, Moholkar V. Mechanistic analysis of hybrid sono-photo-ferrioxalate system for decolorization of azo dye. *J TAIWAN INST CHEM E.* 2016;60:469-78.
18. Rahmani AR, Shabanloo A, Mehralipour J, et al. Degradation of phenol in aqueous solutions using electro-fenton process. *RES J OF ENVIRON SCI.* 2015;9(7):332-42.
19. Ehsanifar M, Jonidi Jafari A, Shirzad Siboni M, et al. Effect of ozonation and hydrogen peroxide on reducing the volume and chemical oxygen demand of waste water treatment plants sludge. *SEP PURIF TECHNOL.* 2018;3(1):15-9.
20. Lin Z, Yao W, Wang Y, et al. Perchlorate formation during the electro-peroxone treatment of chloride-containing water: effects of operational parameters and control strategies. *WATER RES.* 2016;88:691-702.
21. Yao W, Qu Q, Von Gunten U, et al. Comparison of methylisoborneol and geosmin abatement in surface water by conventional ozonation and an electro-peroxone process. *WATER RES.* 2017;108:373-82.
22. Xia G, Wang Y, Wang B, et al. The competition between cathodic oxygen and ozone reduction and its role in dictating the reaction mechanisms of an electro-peroxone process. *WATER RES.* 2017;26:118-38.
23. Mao Y, Guo D, Yao W, et al. Effects of conventional ozonation and electro-peroxone pretreatment of surface water on disinfection by-product formation during subsequent chlorination. *WATER RES.* 2018;130:322-32.
24. Von Sonntag C, Von Gunten U. Chemistry of ozone in water and wastewater treatment: IWA publishing; 2012.
25. Jaafarzadeh N, Barzegar G, Ghanbari FJPS. Photo assisted electro-peroxone to degrade 2, 4-D herbicide: the effects of supporting electrolytes and determining mechanism. *PROCESS SAF ENVIRON.* 2017;111:520-8.
26. Arslan A, Topkaya E, Bingöl D, Veli SJSER. Removal of anionic surfactant sodium dodecyl sulfate from aqueous solutions by O₃/UV/H₂O₂ advanced oxidation process: Process optimization with response surface methodology approach. *SUS ENVIRON RES.* 2018;28(2):65-71.
27. Kermani M, Mohammadi F, Kakavandi B, et al. Simultaneous catalytic degradation of 2, 4-D and MCPA herbicides using sulfate radical-based heterogeneous oxidation over persulfate activated by natural hematite (α -Fe₂O₃/PS). *J PHYS CHEM SOLIDS.* 2018;117:49-59.
28. Qu C, Lu S, Liang D, et al. Simultaneous electro-oxidation and in situ electro-peroxone process for the degradation of refractory organics in wastewater. *J HAZARD MATER.* 2019;364:468-74.
29. Young I, Lipták B. Biochemical Oxygen Demand (BOD), Chemical Oxygen Demand (COD), and Total Oxygen Demand (TOD). Analytical Instrumentation: Routledge; 2018. p. 59-68.

30. Mehralipour J, Dayari A, Rezaei VH, et al. Optimazation of electro-peroxone via response surface statistical model in decolorization od acid orange 7 dye from synthetic. *J COLOR SCI AND TEC*. 2017; 247-58.[persian]
31. Li Y, Shen W, Fu S, et al. Inhibition of bromate formation during drinking water treatment by adapting ozonation to electro-peroxone process. *CHEM ENG J*. 2015;264:322-8.
32. Shen W, Wang Y, Zhan J, et al. Kinetics and operational parameters for 1, 4-dioxane degradation by the photoelectro-peroxone process. *CHEM ENG J*. 2017;310:249-58.
33. Bakheet B, Yuan S, Li Z, et al. Electro-peroxone treatment of Orange II dye wastewater. *WATER RES*. 2013;47(16):6234-43.
34. Mehrjerdi MHM, Tahmasebi N, FiroozAbadi AB, et al. The investigation of exposure to benzene, toluene, ethylbenzene and xylene (BTEX) with Solid Phase Microextr action Method in gas station in Yazd province. *Tibb-i junüb*. 2014;16(6):419-27.
35. Kishimoto N, Morita Y, Tsuno H, et al. Advanced oxidation effect of ozonation combined with electrolysis. *WATER RES*. 2005;39(19):4661-72.
36. Xia G, Wang Y, Wang B, et al. The competition between cathodic oxygen and ozone reduction and its role in dictating the reaction mechanisms of an electro-peroxone process. *WATER RES*. 2017;118:26-38.
37. Sui M, Xing S, Sheng L, et al. Heterogeneous catalytic ozonation of ciprofloxacin in water with carbon nanotube supported manganese oxides as catalyst. . *J HAZARD MATER*. 2012;227:227-36.
38. Prieto A, Möder M, Rodil R, et al. Degradation of the antibiotics norfloxacin and ciprofloxacin by a white-rot fungus and identification of degradation products. *BIORESOURCE TECHNOL*. 2011;102(23):10987-95.
39. Kishimoto N, Nakagawa T ,Okada H, et al. Effect of separation of ozonation and electrolysis on effective use of ozone in ozone-electrolysis process. *Ozone: SCI & ENG*. 2011;33(6):463-9.
40. Chen W, Yu H, Liu Yet al. Isolation and characterization of cellulose nanofibers from four plant cellulose fibers using a chemical-ultrasonic process. *CELLULOSE*. 2011;18(2):433-42.
41. Seidmohammadi A, Asgari G, Torabi L. Removal of Metronidazole Using Ozone Activated Persulfate from Aqua Solutions in Presence of Ultrasound. *JMUMS*. 2016;26(143):160-73.
42. Song W, Yu S, Zhang L, et al. Study of ultrasonic-assisted ozone treatment on oil recovery wastewater from polymer flooding. *Proceedings of Meetings on Acoustics 6ICU*; 2017: ASA.
43. Yuan S, Li Z, Wang Y. Effective degradation of methylene blue by a novel electrochemically driven process. *Electrochim Commun*. 2013;29:48-51.
44. Barazesh JM, Prasse C, Sedlak D. Electrochemical transformation of trace organic contaminants in the presence of halide and carbonate ions. *Electrochim Commun*. 2016;50(18):10143-52.
45. Wang H, Zhan J, Yao W, et al. Comparison of pharmaceutical abatement in various water matrices by conventional ozonation, peroxone (O_3/H_2O_2), and an electro-peroxone process. *Water Res*. 2018;130:127-38.

Optimization of the Ultrasonic-Electroproxone Process Via Graphene-Titanium Electrodes in Removal of 2, 4 D from Synthetic Wastewater by RSM

Jamal Mehralipour^{1,2}, Majid Kermani^{3,4*}

1. Ph.D Student of Environmental Health Engineering, Iran University of Medical Sciences, Tehran, Iran.

2. Student Research Committee, Faculty of public health Branch, Iran University of medical sciences, Tehran, Iran

3. Research Center for Environmental Health Technology, Iran University of Medical Sciences, Tehran, Iran

4. Associate Professor, Department of Environmental Health Engineering, School of Health, Iran University of Medical Sciences, Tehran, Iran

* E-mail: Jamalmehralipour@yahoo.com

Received: 17 Nov 2018 ; Accepted: 5 Feb 2019

ABSTRACT

Background: Advanced Hybrid Oxidation Processes(AHOPs) have the ability to remove the pesticides. The aim of this study was optimization of sono-electroperoxone process (US-EP) in the removal of 2,4 D from aqueous via RSM.

Methods: The pilot plant used in this study included an ozone generator, an ultrasonic generator and an electric direct current source. Two graphene electrodes as anodes and two titanium electrodes as cathodes were used. These electrodes connected to DC as direct monopolar connection. pH, direct electric current, ozone gas concentration, reaction time and initial 2,4 D concentration were optimized as independent and influence parameters. COD and TOC removal, kinetics of reaction, synergistic effects of variables, presence of radical scavengers and optimal electrolyte concentration were determined in optimum condition.

Results: Efficiency of process was 55-90 percent in different runs. The optimized conditions are modeled as pH=6/04, ozone concentration equal to 2 mg/L·min, electric current equal to 1 amperes, 2, 4 D concentration equal to 30.3 mg/L and in 103 minutes reaction time in the presence of ultrasonic waves with frequencies 40 kHz. The Efficiency of US-EP in this situation was 95 percent. COD and TOC removal were 71% and 63%, respectively. The kinetics of the process follow the first order kinetics. The P-Value and F-value was determined by ANOVA analysis 0.0033 and 24.19 respectively, which indicates the model is significant. R², R² adj and R² predicted were 0.94, 0.84 and 0.89, respectively.

Conclusion: US-EP process had a high performance in removing of 2,4 D. The process is an environmentally friendly process because don't use of chemicals.

Keywords: Ultrasonic-Electroproxone process, 2, 4 D pesticid, Optimazation, Aqueous